

I-81 一様な捩りモーメントを受ける棒の弾塑性応力について

鹿島建設KK正員。伊集院久光
宮崎大学工学部正員 太田俊昭

I. 序言 本論文は、一様な捩りモーメントを受ける棒の応力ならびに変形を弾性限界より完全塑性に到るまで逐一明らかにせんとするもので、解析手法を一般化するため、膜理論に基づく差分法を採用し、computerによる捩り応力の数値解析法の確立を試みるものである。

ここでは応用例として矩形およびI形断面棒を選び、それぞれの降伏領域の遷移状況や内部捩り応力などを解明する。

II. 基礎的考察 一様な断面棒を考え、直交座標(x, y, z)を図-1のように設定する。この棒が x 軸まわりにTなる一様な捩りモーメントで捩られ、 y 軸および z 軸方向にそれぞれせん断応力 τ_{yx} および τ_{zx} を生じたと仮定する。

(1) せん断応力を慣用の捩りの応力函数 X を用いて

$$\tau_{yx} = \frac{\partial X}{\partial z}, \quad \tau_{zx} = -\frac{\partial X}{\partial y} \quad (1)$$

て表わせば、文献(1)より弾性域および塑性域においてそれぞれ次の条件式が成立する。

$$\text{弾性域}; \quad \frac{\partial^2 X^e}{\partial y^2} + \frac{\partial^2 X^e}{\partial z^2} = -2\omega G \quad (2)$$

$$\text{塑性域}; \quad 1 \text{ grad } X^p = k \quad (3)$$

ただし $k = \alpha_y/\sqrt{3}$, $\tau_y = k$: 降伏せん断応力, α_y : 降伏垂直応力, ω : 単位長さ当たりの捩れ角,

G : せん断弾性係数, X^e, X^p : 弹性域および塑性域の捩りの応力函数。

式(2), (3)に膜理論を適用すれば、結局次のようになる。すなわち、一様な単位張力で張られた石ケン膜が、上向き圧力を $2\omega G$ を受けるとき、膜の示す自由なりゆき弹性捩り応力函数 X^e を表わし、一方の塑性捩り応力函数 X^p は例えば矩形断面の場合では図-2のようない一定勾配 k の屋根の高さ C となる。(たがって X^p がこの屋根に接した所が塑性域をそなてる)部分から弾性域を表わすことになる。

III. 解法 任意の応力状態に対して前述の条件を満足する X を求めるため、本研究では式(2), (3)を差分表示し、後述のことと差分法による応力解法を採用する。

すなわち、式(2)において $g^e = X^e/ga^2\omega_y$ および x, y を $x = aX$, $y = a\bar{y}$ とおけば

$$\frac{\partial^2 g^e}{\partial x^2} + \frac{\partial^2 g^e}{\partial y^2} = -2\bar{\omega} \quad (4)$$

ここに ω_y : 弹性限界時の捩れ角, $\bar{\omega} = \omega/\omega_y$, a : 標準長

よって等分割長 $\lambda = \bar{\lambda}a$ を用いて式(4)を差分表示すれば次式をうる(図-3参照)。

$$4P_{ij}^e - P_{ij-1}^e - P_{ij+1}^e - P_{i-1,j}^e - P_{i+1,j}^e = 2\bar{\lambda}^2 \bar{\omega} \quad (5)$$

他方、式(3)も同様にして変形すれば

$$P_{ij}^p = C_{ij} \quad (6)$$

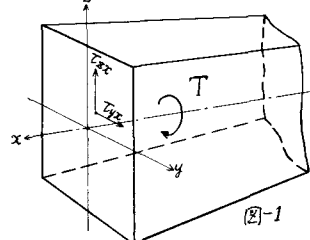


図-1

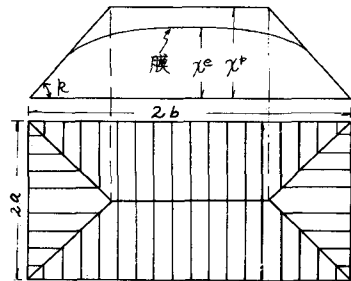


図-2

$$T_{ij} = -(\rho^* \chi_{ij}^* / G a^2 \omega_y), \quad \bar{C}_{ij} = C_{ij} / G a^2 \omega_y$$

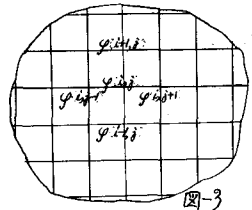
i, j : 任意の格点の位置を表す。

式(5), (6)より格点(i, j)において弹性および塑性の応力状態いずれの場合にも適用できる一般式か次のよう求められる。

$$(4d_{ij} + \beta_{ij})\rho_{ij} - d_{ij}\rho_{ij,i} - d_{ij}\rho_{ij,j} - d_{ij}\rho_{ij,ij} - d_{ij}\rho_{ij,ij} = 2\bar{\lambda}^2 d_{ij} \bar{\omega} + \beta_{ij} \bar{C}_{ij} \quad (7)$$

$\therefore (i) d_{ij}$: 弹性域 ($\rho_{ij} < \bar{C}_{ij}$) では $d_{ij}=1$, 塑性域 ($\rho_{ij} = \bar{C}_{ij}$) では $d_{ij}=0$

β_{ij} : 弹性域 ($\rho_{ij} < \bar{C}_{ij}$) では $\beta_{ij}=0$, 塑性域 ($\rho_{ij} = \bar{C}_{ij}$) では $\beta_{ij}=1$



式(7)を用い邊を除く全格点について求め、境界上の ρ を $\rho=0$ とおけば次式を得る。

$$\begin{array}{l} \left[\begin{array}{ccc} \delta^{11}(4d+\beta)^2 - \delta^{12}(d)^2 & -\delta^{13}(d)^2 & \\ -\delta^{21}(d)^2 & \delta^{22}(4d+\beta)^2 - \delta^{23}(d)^2 & \\ -\delta^{31}(d)^2 & -\delta^{32}(d)^2 & -\delta^{33}(4d+\beta)^2 \end{array} \right] \begin{array}{c} | \\ | \\ | \\ | \\ | \\ | \end{array} \begin{array}{c} -\delta^{1n}(d)^n \\ -\delta^{2n}(d)^n \\ -\delta^{3n}(d)^n \\ | \\ | \\ | \\ | \end{array} \begin{array}{c} (\rho)^1 \\ (\rho)^2 \\ (\rho)^3 \\ | \\ | \\ | \\ | \end{array} = \begin{array}{c} (2\bar{\lambda}^2 \bar{\omega} d + \bar{C}\beta)^1 \\ (2\bar{\lambda}^2 \bar{\omega} d + \bar{C}\beta)^2 \\ (2\bar{\lambda}^2 \bar{\omega} d + \bar{C}\beta)^3 \\ | \\ | \\ | \\ | \end{array} \end{array} \quad (9)$$

ただし、これは分割に因る数、 δ^{ij} : 横I, Jが連結した場合は1, そうでない場合は0とする。また小角の扇形は格子通過する。次に振り子マニット T を求めれば、膜理論に沿う式で与えられる。

$$T = 2 \int \chi dA = 2 \omega_y G a^2 \int \rho dA \quad (10)$$

式(10)を差分表示して

$$T = \omega_y G a^2 \bar{\lambda}^2 \sum (\rho_{ij} + \rho_{ij,n} + \rho_{ij,1j} + \rho_{ij,1j,n}) / 2 \quad (11)$$

ここで弾性限界時の振り子メントを T_y とすれば式(11)より

$$T_y = \omega_y G a^2 \bar{\lambda}^2 B_0 / 2 \quad (12)$$

となり、式(11), (12)より次のように無次元化された式が導かれる。

$$\bar{T} = T / T_y = \sum (\rho_{ij} + \rho_{ij,n} + \rho_{ij,1j} + \rho_{ij,1j,n}) / B_0 \quad (13)$$

ここで B_0 は弾性限界時の境界条件 $d_{ij}=1, \beta_{ij}=0, \bar{\omega}=1, \bar{T}=1$ を式(9), (13)に代入して求められ、また ω_y はこれらの β 値を用いて式(1), (3)より次のようになされる。

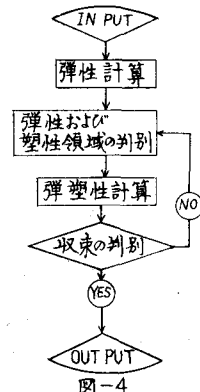
$$T_{max} = M_{max} \left((\partial \rho / \partial x)^2 + (\partial \rho / \partial y)^2 \right)^{1/2} G a \omega_y = k \therefore \omega_y = k / M_{max} \left((\partial \rho / \partial x)^2 + (\partial \rho / \partial y)^2 \right)^{1/2} G a \quad (14)$$

以上から、式(9), (13)と式(8)の半割り式を併用すれば、所要の振り子メント \bar{T} と $\bar{\omega}$ の関係式が決定されることになる。図-4 にての Flow Chart を示す。(ただし T や \bar{T} を求めると Newton 法を用いた逐次近似法を用いるのがよろしい)

IV. 応用例

1) 矩形断面棒 辺長 $2a \times 2b$ (ただし $b/a=2$) をもつ矩形断面棒の弾塑性振り子解析を行えば次のとおりである。

(1) 断面を短辺および長辺をそれぞれ 8 および 16 等分し、各格点を図-5 に示すような番号をつけて表わせば、式(9)は断面の対称性より 32 元連立方程式となる。また式(9)の右辺の \bar{C}_{ij} は勾



配 $\sqrt{A_0}$ (ただし $A_0 = \text{Max}(0 - 14\varphi_{2,9}^{\circ}, \varphi_{3,1}^{\circ}, 1/4\pi)$) の屋根の格梁の高さを表わす。図-2 の \bar{w} が 0.1 から 1.0 ～ 1.1 まで変化させ、図-8(a), (b) を用いて $T - w$ 曲線を求めれば図-6 の結果をうる。図-7 では $\bar{w} = 3.4$ のときの φ -分布図および塑性域の広がりを求めたものである。なお図-6 の $T - w$ 曲線を $1/\bar{w}$ の 2 次式で近似し、最小自乗法よりその諸係数を求めれば次式がえられる。

$$T = 1.723 - 0.192/\bar{w} - 0.531/\bar{w}^2 \quad (\text{誤差 } 1\%)$$

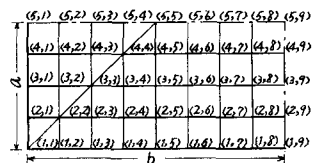


図-5

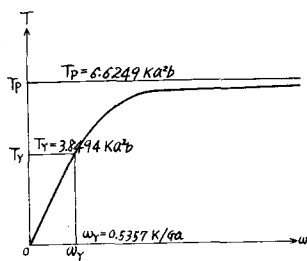


図-6
I型断面棒 図-8(a)

に示す I 型断面棒についても全く同一手法によって解析可能となる。図-8(a) は、結果の 1 部を示したものの、詳細は講演時に説明する。

V. 結び

従来、理論的解析が困難とされていて矩形および I 型断面などの弾塑性挙動が本法によれば Computer を利用して簡単に把握しうることを判明した。

すなむち、本研究によって挙りの応力変化と降伏領域の遷移状況を完全塑性に至る全段階において忠実に算定することができるようになつた他、 $T - w$ 曲線については定性的によく合致し、しかも下限の誤差が数%の工学的精度を有する实用式の誘導も可能となる。

図-7 塑性域分布図 ($\bar{w}=3.4$)

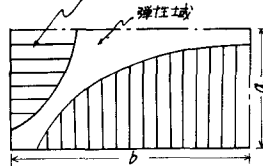
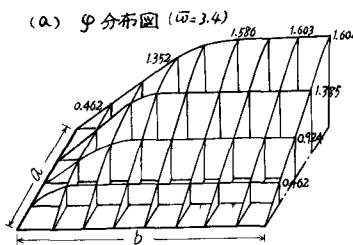


図-7

(b) φ 分布図 ($\bar{w}=10.0$)

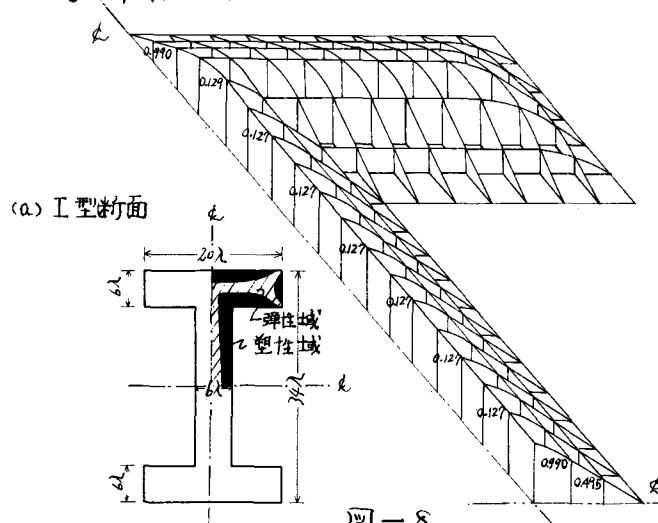


図-8

(参考文献)

- 1) Hodge, P.G.: Elasto-Plastic Torsion as a Problem in Non-linear Programming, International Journal of Solids and Structures, Vol. 13, 1967
- 2) 半沢・石川；弾塑性ねじり問題の一理論解法、日本機械学会論文集(第1部)35巻276号、昭和44年8月
- 3) 小崎・大切；弾塑性挙動の補正エルギーに対する实用式、第20回土木学会学術講演会講演概要、昭和40年5月